

東北大學・工學部 正會員 大吹 増哉
東北大學・工學部 正會員 谷西 茂

1. まえがき

本論文は、鉛直太さが側方荷重を受ける2主軸を有するZヒンジ鋼アーチについて、荔子簡便なモデル化を行ない、その面内強度に関する特性を調べたものである。

ここで対象としているアーチは、図-1に示すやうに、2本のアーチリブが密に配置された横桁および対構で剛結されていう構造形式のものである。本形式のようなアーチの面外構造特性の中で、アーチリブの面内強度に対する最も大きい影響を及ぼす主要因は側方荷重によるアーチリブ

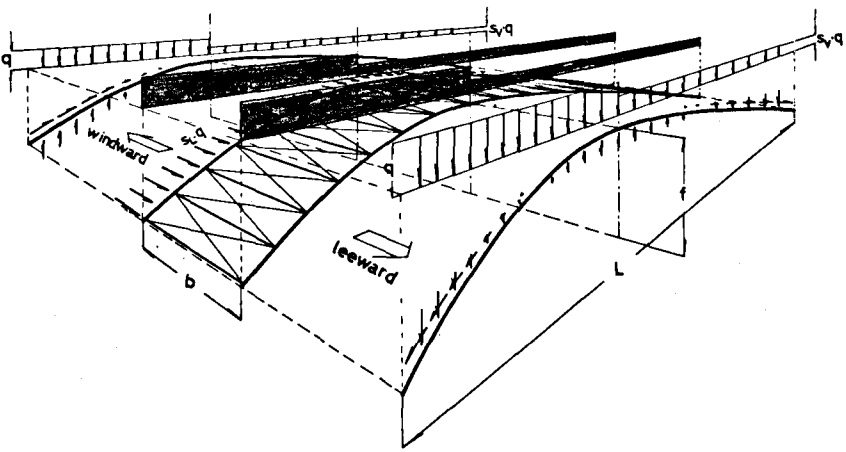


Fig.1 General view of Arch Bridge

リブ断面に生ずる軸力および面内曲げモーメントであることに着目してモデル化を行なった。ちなみに、側方荷重によりアーチリブに生ずる軸力および面内曲げモーメントと力学的に等価な断面力を生じさせるような面内荷重(鉛直方向およびアーチ軸方向)を逆算し、これを載荷することにより風上側および風下側のアーチリブを分離した形で(図-1 参照)側方荷重および全断面と1つの面外剛性の影響を考慮した。取り扱いの簡便さからにはこからの断面力を初期応力として2本のアーチリブを分離する方法もある。²²⁾しかしこの初期応力法では、側方荷重により生ずる断面力および面内変形の影響を考慮することは出来ないという欠点を有している。

2. 解析方法

アーチリブの形状的かつ非線形的非線形の影響を考慮することにより生ずる非線形性をここで荷重増分法を用いて線形化して解析した。³³⁾ここで線形化することにより生ずる内力と外力の不整合は、この不整合量とエネルギー的に等価なわゆる残差不平衝力をとの割度算定¹⁾、これを逐次載荷することにより補正²⁾していく。荷載荷段階から現荷荷段階に至る間の差増分量は2次以上の高次項を省略して次式で与えた。

$$\Delta \epsilon = \frac{d\omega}{dx} - \frac{d^2\omega}{dx^2} \gamma + \frac{1}{2} \left(\frac{d\omega}{dx} \right)^2 + \frac{d\omega}{dx} \cdot \frac{dv_0}{dx}$$

ここで ω : 断要素軸方向変位増分、 v : 鉛直軸方向変位増分、 v_0 : 荷載荷段階までの鉛直軸方向変位量、 γ : 断要素軸座標、 γ : 鉛直方向座標をとらせておこう。

接線剛性方程式は、荷載荷段階から現荷荷段階の間に断要素内に貯えられた歪エネルギー増分から外力による仕事増分より得られるボテンシャルエネルギー増分に、ボテンシャルエネルギー-弾性の原理を適用することによって求めた。構造解析は、有限要素法により、一般的に用いられる変形法の手法へ従って行なう。

3. 数値計算結果

数値計算例では、放物線形状の2ヒンジアーチに第一載荷段階として荷重係数 S_L なる側方分布荷重を載荷し、次に荷重係数 S_V なる非對称鉛直荷重を施加載荷した場合の面内強度を算定した。アーチリブ断面は、細長比の変化にようす、基準断面のキヤ断面形状比 ($B/H = 0.6$, $H/t_w = 19.0$, $t_y/t_w = 1.5$)、又残存応力分布 (引張り側 ϵ_T 、圧縮側 $\epsilon - \epsilon_T$ ($\alpha = 0.4$)) 左右等角箱形断面を使用した。本計算における精度は、 $\pm 1\% \sim 1\%$ レンジ精度 0.5% 、終局荷重への収束精度 10% とした。又、アーチリブの軸方向分割数 30、断面内分割数 40 とした。図-2, -3, -4, -5 に数値計算結果の一部を示す。図中の q_p は荷重を除く全分割点による集中荷重を載荷した場合、軸力にモリスブリッキンギングに伴う加成された時の荷重強度 (一次解法による算定値) を表す。得られた内容の一部を次に示す。

- (1) 風上側と風下側のアーチリブを比較すると、風下側の終局強度が低い値となる。(2) 面内強度における側方荷重の影響は、鉛直荷重の非対称性が大きくなるほど顕著となる。(3) 面内強度における側方荷重の影響は、細長比が大きくなるにつれて顕著となる。

尚、数値計算には東北大学大型計算機センターの、
ACOS-7000 を使用した。

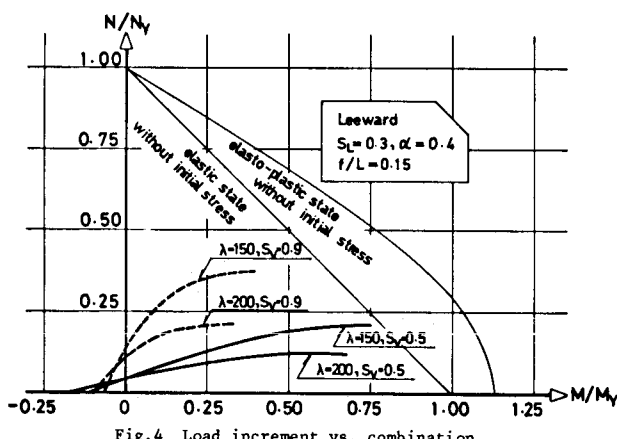


Fig. 4 Load increment vs. combination of bending moment and axial thrust

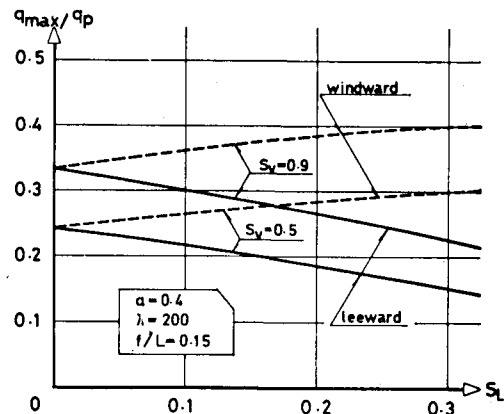


Fig. 2 In-plane strength of Windward rib and Leeward one

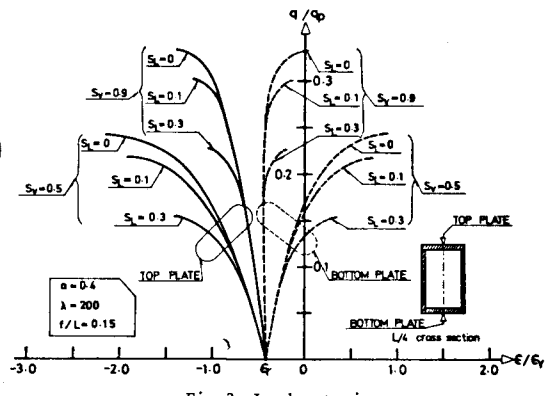


Fig. 3 Load-strain curves

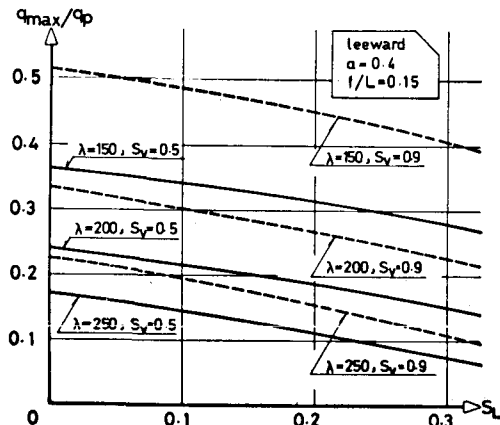


Fig. 5 Relationships between maximum vertical load intensity and lateral load parameter

参考文献

- 1) 天吹・倉西：“側方荷重の影響を考慮したアーチの面内耐荷力”，第3回土木学会構造力学講演会概要集(1976)
- 2) Kuranishi・Yabuki：“In-plane Strength of Arch Bridges Subjected to Vertical and Lateral Loads”，Proc. Report of The 2nd International Colloquium on Stability of Steel Structures, Liege, Apr. 1977
- 3) 藤田・大坪・湯原：“構造物の塑性設計(第10回)”，造船学会論文集，No. 126, 1970